

Destinataire :

Monsieur Hugo DUROU

ENERGY HARVESTING TECH

PORTE A2

9 RUE LOUIS COURTOIS DE VICOSE

31000 TOULOUSE

FRANCE

Villeurbanne, le 20/03/2024

Responsable de l'étude : **Jacques-Olivier FAVREAU**

Fonction : Chargé d'Etudes

Signature :

Rapport d'étude n° 2231057

Révision : 01

**Caractérisation des performances thermiques du système de
récupération de chaleur Obox P MAX**

COLLABORATEUR (S) : Emmanuelle PLAQUIN

ESSAIS RÉALISÉS : SEMAINE 6/2024

CENTRE TECHNIQUE DES INDUSTRIES AÉRAULIQUES ET THERMIQUES

Domaine Scientifique de la Doua - 25, avenue des Arts - BP 52042 - 69603 Villeurbanne Cedex - France

Tél. +33 (0)4 72 44 49 00 - Fax. +33 (0)4 72 44 49 49 - www.cetiat.fr - Email : commercial@cetiat.fr

Livraisons : Domaine Scientifique de la Doua - 54, avenue Niels Bohr - 69100 Villeurbanne

Siret 775 686 967 00024 - Ape 7219 Z

Le rapport final signé annule tous les résultats et documents provisoires communiqués.

Chaque révision annule et remplace la précédente.

Tout exemplaire périmé doit être détruit ainsi que les éventuelles copies. Nous attirons votre attention sur les risques d'erreurs encourus à conserver une version périmée.

| Révision | Date | Nature de la modification | Pages modifiées |
|-----------------|-------------|--|------------------------|
| 00 | 19/03/2024 | Première édition | / |
| 01 | 20/03/2024 | Changement d'indentifiant de Obox P à Obox P MAX | 1, 4 et 8 |
| | | | |
| | | | |

Les résultats et les rapports sont la propriété exclusive du demandeur et le CETIAT s'interdit leur communication à des tiers sauf autorisation écrite.

Toute utilisation commerciale du nom du CETIAT et des résultats est soumise à l'accord préalable du CETIAT.

La reproduction de ce rapport n'est autorisée que sous sa forme intégrale.

Les rapports établis par le CETIAT ne sont valables que pour le matériel qui lui a été présenté, et dans les conditions particulières de l'essai.

Les informations relatives aux équipements de mesure utilisés pour les essais sont conservées dans le dossier archivé au CETIAT.

L'utilisation de ces résultats pour le dimensionnement d'installations utilisant ce matériel doit tenir compte des tolérances de fabrication, des conditions réelles d'exploitation et ne relève donc pas de la responsabilité du CETIAT.

Les formules ou codes utilisés pour prévoir soit le fonctionnement d'un appareil dans des conditions autres que celles de l'essai, soit les caractéristiques d'appareils semblables mais de dimensionnement différent tiennent compte de l'état des connaissances au moment de la livraison des résultats et sont susceptibles d'évolution. Les résultats obtenus par ces formules ou codes de calcul sont donnés de façon indicative.

Le rapport signé numériquement est transmis au client. Un exemplaire est conservé au CETIAT.

| |
|-----------------|
| SOMMAIRE |
|-----------------|

| | |
|---|----|
| 1. INTRODUCTION..... | 4 |
| 2. PROTOCOLE D'ESSAIS | 4 |
| 2.1. Equipement en essais..... | 4 |
| 2.2. Installation d'essais et mesures | 4 |
| 2.3. Conditions d'essais | 6 |
| 3. RESULTATS | 7 |
| 4. CONCLUSIONS..... | 8 |
| | |
| ANNEXE 1 - Photos de l'installation d'essais | 9 |
| ANNEXE 2 - Incertitude de mesure des capteurs | 11 |

1. INTRODUCTION

ENERGY HARVESTING TECH a sollicité le CETIAT pour caractériser expérimentalement les performances thermiques d'un système de récupération de chaleur Obox P MAX sur un point de fonctionnement thermique.

2. PROTOCOLE D'ESSAIS

2.1. Equipement en essais

La figure 1 présente le système de récupération de chaleur, modèle OBOX P MAX, qui a été testé. Il est de dimensions 1200 × 900 × 510 mm pour un poids de 51 kg.



Figure 1 : Système de récupération de chaleur OBOX P MAX

2.2. Installation d'essais et mesures

Le système OBOX P MAX a été installé dans la cellule climatique CLIM1 du CETIAT contrôlée en températures d'air sèche et humide. Chaque circuit hydraulique, primaire et secondaire, a été raccordé à une boucle d'eau indépendante régulée en température et en débit. En entrée et en sortie de chaque circuit des manchettes de mesures spécifiques ont été utilisées afin de mesurer la température de l'eau ainsi que la perte d'énergie mécanique de chaque circuit. Des photographies de l'installation d'essais sont présentées en Annexe 1.

Les mesures effectuées sont :

- les températures entrée et sortie d'eau du circuit primaire ;
- le débit volumique d'eau et la perte d'énergie mécanique du circuit primaire ;
- les températures entrée et sortie d'eau du circuit secondaire ;
- le débit volumique d'eau et la perte d'énergie mécanique du circuit secondaire ;
- la température d'air autour du système.

À partir de ces mesures, ont été calculés :

- la puissance thermique échangée sur l'eau au circuit primaire ;
- la puissance thermique échangée sur l'eau au circuit secondaire ;
- le bilan thermique ;
- l'efficacité de l'échangeur, définie comme le rapport entre la puissance réelle échangée et la puissance maximale échangeable.

Les instruments de mesure utilisés ont été étalonnés par un laboratoire accrédité COFRAC selon la norme NF EN ISO/IEC 17025.

Les incertitudes de mesure des capteurs utilisés sont présentées en Annexe 2.

2.3. Conditions d'essais

Le système a été testé, en régime stationnaire, sur un point d'essai thermique, dans les conditions opératoires présentées dans le tableau 1.

Tableau 1 : Condition d'essais

| Circuit primaire | |
|---------------------------|----------|
| <i>Fluide</i> | Eau |
| <i>Température</i> | 28 °C |
| <i>Débit</i> | 20 l/min |
| Circuit secondaire | |
| <i>Fluide</i> | Eau |
| <i>Température</i> | 12,3 °C |
| <i>Débit</i> | 20 l/min |

La température d'air ambiante autour du système a été régulée à 25°C +/-0,5°C.

Lors des essais, la position des vannes n'a pas été modifiée.

Le CETIAT s'est appuyé sur la méthodologie d'essai décrite dans les normes EN305 et EN306 pour mener ces essais.

3. RESULTATS

Conditions de test / Test conditions

| | | |
|---|------|--------|
| Température de l'air extérieur (sèche (humide)) <i>Outdoor temperature (DB (WB))</i> | °C | 25 (-) |
| Pression atmosphérique <i>Atmospheric pressure</i> | mbar | 99 216 |
| Température sèche <i>Dry bulb temperature</i> | °C | 25,1 |
| Température humide <i>Wet bulb temperature</i> | °C | 18,9 |
| Température de rosée <i>Dew point temperature</i> | °C | 15,8 |

Circuit Primaire

| | | |
|---|-------------------|--------|
| Température d'entrée <i>Inlet temperature</i> | °C | 28,0 |
| Température de sortie <i>Outlet temperature</i> | °C | 13,2 |
| Débit massique <i>Mass flow rate</i> | kg/s | 0,334 |
| Débit volumique <i>Volume flow rate</i> | m ³ /h | 1,20 |
| Différence de pression statique (sortie-entrée) <i>Static pressure difference (outlet-inlet)</i> | kPa | -70,6 |
| Puissance calorifique mesurée <i>Measured heating capacity</i> | kW | -20,62 |

Circuit Secondaire

| | | |
|---|-------------------|-------|
| Température d'entrée <i>Inlet temperature</i> | °C | 12,3 |
| Température de sortie <i>Outlet temperature</i> | °C | 27,2 |
| Débit massique <i>Mass flow rate</i> | kg/s | 0,333 |
| Débit volumique <i>Volume flow rate</i> | m ³ /h | 1,20 |
| Différence de pression statique (sortie-entrée) <i>Static pressure difference (outlet-inlet)</i> | kPa | -57,3 |
| Puissance calorifique mesurée <i>Measured heating capacity</i> | kW | 20,86 |

| | | |
|-----------------|---|-----|
| Bilan thermique | % | 1,1 |
|-----------------|---|-----|

| | | |
|--|----------|-------------|
| Efficacité thermique du système | % | 94,1 |
|--|----------|-------------|

4. CONCLUSIONS

Dans les conditions d'essais présentées en § 2.3., le système de récupération de chaleur OBOX P MAX présente une efficacité thermique de 94,1% et la puissance thermique échangée côté secondaire est de 20,86 kW. Le bilan thermique est de 1,1 %.

ANNEXE 1 - Photos de l'installation d'essais



Figure 2 : Vue d'ensemble 1



Figure 3 : Vue d'ensemble 2



Figure 4 : Vue de face avec position des vannes

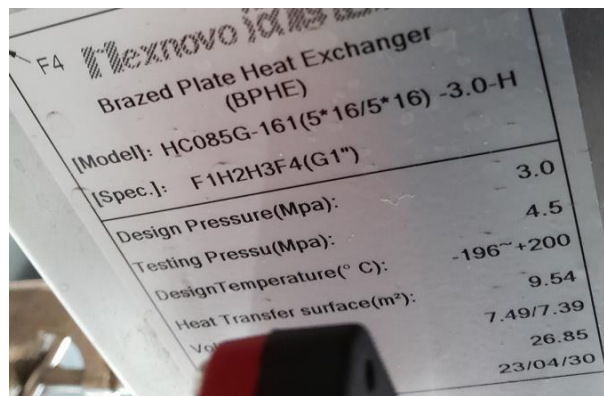


Figure 5 : Plaque signalétique de l'échangeur

ANNEXE 2 - Incertitude de mesure des capteurs

| Paramètre mesuré <i>Measured value</i> | Instrumentation <i>Instrumentation</i> | Nombre <i>Number</i> | Incertitude de mesure <i>Uncertainty of measurement</i> |
|--|--|-------------------------|--|
| Air | | | |
| Température sèche entrée d'air <i>Entering air dry bulb temperature</i> | Sonde platine (Pt 100 Ohms à 0 °C) Pt sensor (100 Ohms at 0 °C) | 4 | ± 0,2 °C |
| Température de rosée entrée d'air <i>Entering air dew point temperature</i> | Hygromètre à point de rosée Condensation hygrometer | 2 | ± 0,3 °C |
| Eau primaire | | | |
| Température entrée d'eau <i>Inlet water temperature</i> | Sonde platine (Pt 100 Ohms à 0 °C) Pt sensor (100 Ohms at 0 °C) | 1 | ± 0,1 °C |
| Température sortie d'eau <i>Outlet water temperature</i> | Sonde platine (Pt 100 Ohms à 0 °C) Pt sensor (100 Ohms at 0 °C) | 1 | ± 0,1 °C |
| Perte d'énergie mécanique sur l'eau <i>Water pressure drop</i> | Capteur à membrane -1/+1 bar Pressure transducer -1/+1 bar | 1 | ± 1 kPa (ou ± 5% si sup. à 20kPa) |
| Débit d'eau <i>Water flow rate</i> | Débitmètre électromagnétique Electromagnetic volume flow meter | 1 | ± 1 % |
| Eau secondaire | | | |
| Température entrée d'eau <i>Inlet water temperature</i> | Sonde platine (Pt 100 Ohms à 0 °C) Pt sensor (100 Ohms at 0 °C) | 1 | ± 0,1 °C |
| Température sortie d'eau <i>Outlet water temperature</i> | Sonde platine (Pt 100 Ohms à 0 °C) Pt sensor (100 Ohms at 0 °C) | 1 | ± 0,1 °C |
| Perte d'énergie mécanique sur l'eau <i>Water pressure drop</i> | Capteur à membrane -1/+1 bar Pressure transducer -1/+1 bar | 1 | ± 1 kPa (ou ± 5% si sup. à 20kPa) |
| Débit d'eau <i>Water flow rate</i> | Débitmètre électromagnétique Electromagnetic volume flow meter | 1 | ± 1 % |